

双基地前向散射雷达机动目标跟踪

王辉军^{1,2}, 刘卫平³, 曹运合¹, 张守宏¹

(1. 西安电子科技大学 雷达信号处理国家重点实验室, 陕西 西安 710071; 2. 94119 部队, 甘肃 天水 741020; 3. 上海航天电子技术研究所, 上海 201109)

摘 要:为进行基于 EKF(Extended Kalman Filter, EKF) 的双基地前向散射雷达机动目标跟踪, 基于双基地前向散射雷达(Bistatic forward scattering radars, BFSR)在其前向散射区探测隐身目标的能力明显优于单基地雷达的特点, 建立常加速度和变加速度 2 种运动模型, 使用扩展卡尔曼滤波进行目标跟踪保持, 精确估计了运动目标参数(运动轨迹、速度、加速度), 为该体制雷达成像、识别奠定了基础。并使用了高斯-牛顿迭代算法估计初值, 提高了滤波的效率和准确性。通过对匀加速、变加速运动目标仿真, 验证了提出模型和算法的有效性。

关键词:EKF; 机动目标; 前向散射雷达

DOI:10.3969/j.issn.1009-3516.2010.04.008

中图分类号: TN951 **文献标识码:** A **文章编号:** 1009-3516(2010)04-0037-05

双基地前向散射雷达在其前向散射区内能对“隐形”目标进行探测^[1-5], 因此, 在对要害部位进行保护及拦截低空突防武器中作用日益凸现。文献[1, 6] 讨论了双基地前向散射雷达对高速运动目标的检测, 确定了目标的观测向量多普勒频移和波束到达方向, 但目标运动参数与观测向量是非线性关系, 且从双基雷达几何配置特性可知, 目标在远场多普勒频率、波束到达方向角都较大, 但目标回波信号功率比较小, 目标在基线附近区域时, 目标回波信号功率较大, 但目标信号与直达波信号的功率比急剧增大, 同时多普勒频率接近零, 这给目标参数的估计带来一定的难度。文献[7-8]对匀速直线运动目标进行了参数估计, 但都是针对匀速目标的研究, 本文在其研究基础上对机动目标参数估计进行探讨, 建立机动目标观测模型、机动目标状态模型, 并运用扩展卡尔曼滤波进行仿真研究。

1 系统模型的建立

双基地前向散射雷达的几何关系见图 1。图中 T 表示发射机, R 表示接收机, b 表示基线长度, β 表示双基地角, T_g 为目标, θ 为方位角, V 表示目标运动速度, ψ 表示目标运动方向和基线的夹角。

1) 常加速度运动状态模型。目标 T_g 以常加速度 a 运动, 此时系统的状态方程可描述为:

$$\mathbf{X}(k+1) = \Phi\mathbf{X}(k) + \mathbf{G}v(k) \quad (1)$$

式中: $\mathbf{X}(k+1) = [x_{k+1} \dot{x}_{k+1} \ddot{x}_{k+1} y_{k+1} \dot{y}_{k+1} \ddot{y}_{k+1}]^T$ 为状态向量; \dot{x}_{k+1} 、 \dot{y}_{k+1} 分别为 $k+1$ 时刻目标在 x 、 y 方向上的速度; \ddot{x}_{k+1} 、 \ddot{y}_{k+1} 分别为 $k+1$ 时刻目标在 x 、 y 方向上的加速度; 状态转移矩阵 Φ 、过程噪声

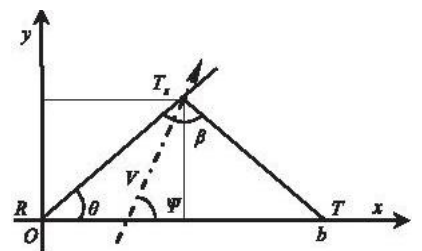


图 1 双基地前向散射几何关系
Fig. 1 Bistatic forward scattering geometry

* 收稿日期: 2009-08-22
基金项目: 国家部委科技预研基金资助项目(5143102015ZS0102)
作者简介: 王辉军(1977-), 男, 甘肃通渭人, 硕士, 主要从事双多基地雷达信号检测研究。
E-mail: whjbhy@yahoo.com.cn

分布矩阵 \mathbf{G} 分别为:

$$\Phi = \begin{bmatrix} 1 & T & 1/2T^2 & 0 & 0 & 0 \\ 0 & 1 & T & 0 & 0 & 0 \\ 0 & 0 & 1 & 0 & 0 & 0 \\ 0 & 0 & 0 & 1 & T & 1/2T^2 \\ 0 & 0 & 0 & 0 & 1 & T \\ 0 & 0 & 0 & 0 & 0 & 1 \end{bmatrix}; \quad \mathbf{G} = \begin{bmatrix} 1/6T^3 & 0 \\ 1/2T^2 & 0 \\ T & 0 \\ 0 & 1/6T^3 \\ 0 & 1/2T^2 \\ 0 & T \end{bmatrix} \quad (2)$$

式中 T 表示采样间隔。

2) 变加速度运动状态模型。利用当前统计模型建模^[9], 目标的状态方程为:

$$\mathbf{X}(k+1) = \Phi(k)\mathbf{X}(k) + \mathbf{G}(k)\bar{a} + \mathbf{V}(k) \quad (3)$$

式中 $\Phi(k)$ 、输入控制矩阵 $\mathbf{G}(k)$ 如式(4)所示:

$$\Phi(k) = \begin{bmatrix} 1 & T(a_x T - 1 + e^{-a_x T})/a_x^2 & 0 & 0 & 0 & 0 \\ 0 & 1 & (1 - e^{-a_x T})/a_x & 0 & 0 & 0 \\ 0 & 0 & e^{-a_x T} & 0 & 0 & 0 \\ 0 & 0 & 0 & 1 & T(a_y T - 1 + e^{-a_y T})/a_y^2 & 0 \\ 0 & 0 & 0 & 0 & 1 & (1 - e^{-a_y T})/a_y \\ 0 & 0 & 0 & 0 & 0 & e^{-a_y T} \end{bmatrix};$$

$$\mathbf{G}(k) = \begin{bmatrix} 1/a_x(-T + a_x T^2/2 + (1 - e^{-a_x T})/a_x) & 0 \\ T - (1 - e^{-a_x T})/a_x & 0 \\ 1 - e^{-a_x T} & 0 \\ 0 & 1/a_y(-T + a_y T^2/2 + (1 - e^{-a_y T})/a_y) \\ 0 & T - (1 - e^{-a_y T})/a_y \\ 0 & 1 - e^{-a_y T} \end{bmatrix} \quad (4)$$

式中 a_x, a_y 为机动时间常数的倒数 a 在 2 个方向上的分量, 具体值根据实际情况确定, 这里假定 $aT \ll 1$, 即 T 比机动自相关时间常数 $1/a$ 小得多, 在跟踪过程中, 如果更新率足够高, 则上述假定是合理的。

3) 观测模型。根据观测信息, 模型的观测方程如下:

$$\mathbf{Z}(k) = \mathbf{h}(k, \mathbf{X}(k)) + \mathbf{W}(k) \quad (5)$$

式中观测向量 $\mathbf{Z}(k) = [f_k \ \theta_k]^T$ 。由双基地雷达系统基本原理可知:

$$f = 1/\lambda \frac{d}{dt}[R_T + R_R] = 1/\lambda \left[\frac{dR_T}{dt} + \frac{dR_R}{dt} \right] \quad (6)$$

根据双基地几何关系图 1, 有 $R_R = \sqrt{x_k^2 + y_k^2}$, $R_T = \sqrt{(b - x_k)^2 + y_k^2}$, 且 $\dot{x}_k = dx_k/dt$, $\dot{y}_k = dy_k/dt$, 观测矩阵满足:

$$\mathbf{h}(k, \mathbf{X}(k)) = \begin{bmatrix} f \\ \theta \end{bmatrix} = \begin{bmatrix} -\frac{1}{\lambda} \left[\frac{x_k \dot{x}_k + y_k \dot{y}_k}{\sqrt{x_k^2 + y_k^2}} + \frac{y_k \dot{y}_k - (b - x_k) \dot{x}_k}{\sqrt{(b - x_k)^2 + y_k^2}} \right] \\ \arctan \frac{y_k}{x_k} \end{bmatrix} \quad (7)$$

式中: λ 为发射波波长; b 为基线长度。

2 高斯-牛顿迭代算法估计初值

目标最大似然估计的基本原理是对于某个选定的值 ϑ , 考虑 x 落在一个小区域内的概率 $p(x|\vartheta)dx$, 取 p

$(x|\vartheta) dx$ 最大的那个对应的 ϑ 作为估计量 $\hat{\vartheta}_{ml}$ 。在这里就是根据观测矢量 $\mathbf{Z}(k)$ 的概率密度函数 $p(\mathbf{Z}(k)|X(k))$ 估计 $\hat{X}(k)$ 的值。在高斯分布中,最优估计定义为:

$$\hat{X}(k) = \operatorname{argmin} \phi_k(\mathbf{X}(k)) \quad (8)$$

式中: $\phi_k(\mathbf{X}(k)) = [\mathbf{Z}(k) - \mathbf{h}(\mathbf{X}(k))]^T \mathbf{G}_R [\mathbf{Z}(k) - \mathbf{h}(\mathbf{X}(k))]$; $\mathbf{G}_R = [M\{\Delta\mathbf{Z}(k)\Delta\mathbf{Z}(k)^T\}]^{-1}$ 表示测量噪声的互相关转置矩阵; $\Delta\mathbf{Z}(k) = [\Delta\hat{f}_1, \Delta\hat{\theta}_1, \Delta\hat{f}_2, \Delta\hat{\theta}_2, \dots, \Delta\hat{f}_k, \Delta\hat{\theta}_k]$ 表示观测噪声向量。

这里采用高斯-牛顿迭代算法逼近近似值:

$$\hat{X}(k)^{i+1} = \hat{X}(k)^i + l(\mathbf{H}_k^T \mathbf{G}_R \mathbf{H}_k)^{-1} \mathbf{H}_k^T \mathbf{G}_R [\mathbf{Z}(k) - \mathbf{h}(\hat{X}(k)^i)] \quad (9)$$

式中: $\hat{X}(k)^i$ 为第 i 次迭代估计参数向量; \mathbf{H}_k 为观测矩阵的线性化; l 为收敛速率。

在这种条件下,该算法能够迅速收敛,有效的估计最大似然方程的解。同时,因为系统的非线性,有时函数 $\phi(\mathbf{X}(k))$ 可能仅仅收敛于局部最小,不一定是全局最小值。通过分析局部最小值的位置,在局部收敛域对于参数 $\mathbf{X}(k)$ 的最优估计 $\hat{X}(k)$ 的收敛区间可以看出,在整个参数向量的区间内,有许多似然函数 $\phi(\mathbf{X}(k))$ 的局部极值。因此,在实际的迭代算法实施中,选取合适的迭代起始点对于函数 $\phi(\mathbf{X}(k))$ 的全局收敛有着至关重要的作用。

在现实的算法实施过程中,对于初始迭代点的选取, t_1, t_k 与时刻的观测量 $f_1, \theta_1, f_k, \theta_k$, 以及轨迹参数 $x_k, y_k, \dot{x}_k, \dot{y}_k$ 有关。由于 $t_1 - t_k$ 时刻波达角 θ 变化较小,根据文献[3]可选取为:

$$\begin{cases} x_k = (\lambda f_k f_1 \Delta t + b \theta_1^2 f_k - b \theta_k \theta_1 f_1) / p; & y_k = \theta_k x_k \\ \dot{x}_k = b(f_k \theta_1^2 + f_1 \theta_k^2 - \theta_1 \theta_k (f_1 + f_k)) / (p \Delta t); & \dot{y}_k = -\lambda f_k f_1 (\theta_1 - \theta_k) / p \end{cases} \quad (10)$$

式中: Δt 表示 2 个相邻时间间隔; $p = \lambda f_k f_1 \Delta t / b + \theta_1^2 f_k - \theta_k^2 f_1$ 。通过带入观测量 $\hat{f}_1, \hat{\theta}_1, \hat{f}_k, \hat{\theta}_k$ 到方程组(10),可以得到参数 $\mathbf{X}(k)$ 的初始近似,得到较为精确的初值估计。

3 扩展卡尔曼滤波

由于 EKF 已经相当成熟,这里只讨论其初始协方差的计算。直角坐标系下的量测值 $\mathbf{Z}(k)$ 近似为:

$$\mathbf{Z}(k) = \begin{bmatrix} x_k \\ y_k \end{bmatrix} = \begin{bmatrix} \frac{\lambda f_k f_1 T + b \theta_1^2 f_k - b \theta_k \theta_1 f_1}{\lambda f_k f_1 T / b + \theta_1^2 f_k - \theta_k^2 f_1} \\ \theta_k x_k \end{bmatrix} \quad (11)$$

观测噪声在直角坐标系下的协方差 $\mathbf{R}_s = \mathbf{A} \mathbf{R} \mathbf{A}^T$, $\mathbf{R} = \operatorname{diag}(\sigma_f^2, \sigma_\theta^2)$, 式中:

$$\mathbf{A} = \begin{bmatrix} \frac{\partial x_k}{\partial f_k} & \frac{\partial x_k}{\partial \theta_k} \\ \frac{\partial y_k}{\partial f_k} & \frac{\partial y_k}{\partial \theta_k} \end{bmatrix} \quad (12)$$

式中: $\frac{\partial x_k}{\partial f_k} = \frac{(\lambda f_1 T + b \alpha_1^2)(\lambda f_k f_1 T / b + \theta_1^2 f_k - \theta_k^2 f_1) - (\lambda f_k f_1 T + b \theta_1^2 f_k - b \theta_k \theta_1 f_1)(\lambda f_1 T / b + \theta_1^2 - \theta_k^2 f_1)}{(\lambda f_k f_1 T / b + \theta_1^2 f_k - \theta_k^2 f_1)^2}$; $\frac{\partial y_k}{\partial f_k} = \theta_k \frac{\partial x_k}{\partial f_k}$;

$\frac{\partial x_k}{\partial \theta_k} = \frac{-b \theta_1 f_1 (\lambda f_k f_1 T / b + \theta_1^2 f_k - \theta_k^2 f_1) - 2(\lambda f_k f_1 T + b \theta_1^2 f_k - b \theta_k \theta_1 f_1) \theta_k f_1}{(\lambda f_k f_1 T / b + \theta_1^2 f_k - \theta_k^2 f_1)^2}$;

$\frac{\partial y_k}{\partial \theta_k} = \frac{(\lambda f_k f_1 T + b \theta_1^2 f_k - 2b \theta_k \theta_1 f_1)(\lambda f_k f_1 T / b + \theta_1^2 f_k - \theta_k^2 f_1) - 2(\lambda f_k f_1 T + b \theta_1^2 f_k - b \theta_k \theta_1 f_1) \theta_k f_1}{(\lambda f_k f_1 T / b + \theta_1^2 f_k - \theta_k^2 f_1)^2}$ 。

而初始协方差矩阵为:

$$\mathbf{P}(2|2) = \begin{bmatrix} \mathbf{P}_{11} & \mathbf{P}_{12} \\ \mathbf{P}_{12} & \mathbf{P}_{22} \end{bmatrix} \quad (13)$$

式中 $\mathbf{P}_{11}, \mathbf{P}_{12}, \mathbf{P}_{22}$ 为分块矩阵,且:

$$P_{ij} = \begin{bmatrix} r_{ij}(2) & \frac{r_{ij}(2)}{T} & \frac{r_{ij}(2)}{T^2} \\ \frac{r_{ij}(2)}{T} & \frac{r_{ij}(2)}{T^2} + \frac{r_{ij}(1)}{T^2} & \frac{r_{ij}(2)}{T^3} + \frac{2r_{ij}(1)}{T^3} \\ \frac{r_{ij}(2)}{T^2} & \frac{r_{ij}(2)}{T^3} + \frac{2r_{ij}(1)}{T^3} & \frac{r_{ij}(2)}{T^4} + \frac{4r_{ij}(1)}{T^4} + \frac{r_{ij}(0)}{T^4} \end{bmatrix} \quad (14)$$

式中 $r_{ij}(k)$ 为 $R_s(k)$ 中对应的元素。

4 仿真结果与分析

仿真参数采用俄罗斯 A. B. Blyakhman 等人研制的双基地前向散射栅栏雷达实验系统中的参数:发射波长 $\lambda = 0.77$ m,基线长度 $b = 40$ km,假设目标以速度 $v = 500$ m/s 与基线成 75° 角运动,采样间隔 $T = 0.1$ s, y 维从距离基线 8 000 m 处, x 维取基线中点附近,观测误差 $R = \text{diag}(5^2, 0.01^2)$,迭代次数 1 000,观测矢量取 24 对,利用 $f_1, \theta_1, f_k, \theta_k$ 求得初始迭代点,初值估计见图 2。

图 2 中估计值逐渐逼近目标真实位置, y 维偏差大小为 20 – 30 m, x 维(基线方向)偏差为 100 – 200 m,该估计为后续的滤波提供了较为精确的初值,满足滤波要求。

对匀加速运动状态进行仿真,目标初始状态 $X_0 = [20\ 000, 200, 5, -6\ 000, 200, 5]^T$,对目标进行初值估计得: $X(0) = [20\ 102, 190, 0, -5\ 980, 205, 0]^T$, $P(2|2)$ 根据式(13)求得,观测误差协方差阵 $R = \text{diag}(5^2, 0.01^2)$,仿真时间 40 s,利用匀加速模型对该目标仿真的结果见图 3。

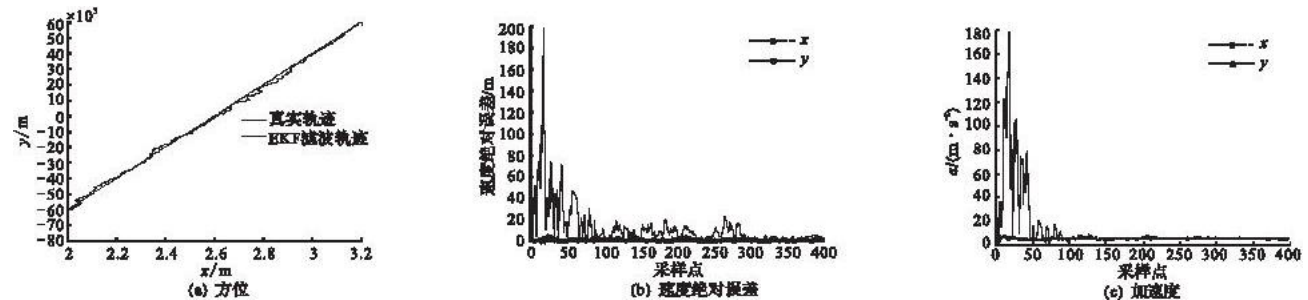


图 3 基于匀加速模型的匀加速目标跟踪仿真

Fig. 3 Results of the simulation of constant acceleration targets tracking based on constant acceleration model

通过仿真可以看出,滤波轨迹较好地拟合了目标真实运动的情况,经过 50 – 100 次迭代后,无论是速度,还是加速度,都基本接近真值。

当目标变加速运动时,运用匀加速模型和当前统计模型进行仿真,仿真时间 33 s,目标初始状态 $X_0 = [20\ 000, 200, 0, -10\ 000, 200, 5]^T$,初值估计得: $X(0) = [20\ 102, 190, 0, -10\ 980, 205, 0]^T$,机动环境见表 1。

通常 α 的经验取值范围为:目标机动形式是飞机慢转弯, $1/\alpha$ 的取值为 60 s,对于逃避机动是 20 s,大气扰动是 1 s。这里根据实际,取当前统计模型最大加速度 $a_{\max} = 10$ m/s², $a_{-\max} = -10$ m/s², $a_x = 1, \alpha_y = 1/5$,仿真结果见图 4。

表 1 目标机动运动情况表

Tab. 1 The movement of target maneuvering

分向加速度	t/s			
	25	0	8	17
$\ddot{x}_{k+1}/(\text{m} \cdot \text{s}^{-2})$	0	0	0	0
$\ddot{y}_{k+1}/(\text{m} \cdot \text{s}^{-2})$	5	10	0	-10

比较2种模型下的仿真结果,当前统计模型较好地拟合了目标的真实轨迹,而匀加速模型不能跟踪目标加速度的变化,与之对应的位置信息随之发散。

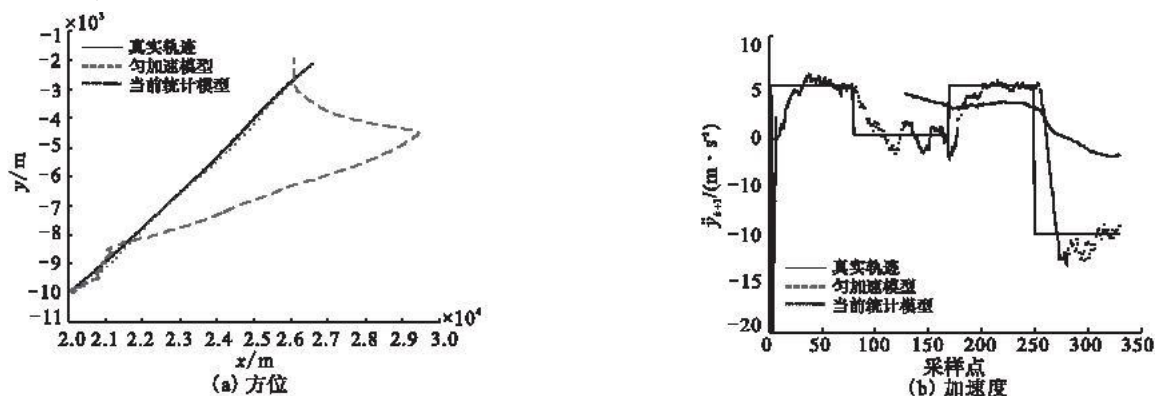


图4 匀加速模型与当前统计模型对机动目标跟踪的方位、加速度比较

Fig.4 Comparisons of location and acceleration of maneuvering targets tracking by the constant acceleration model and the current statistical model

5 结束语

本文在高斯-牛顿算法估计初值的基础上,完成了基于EKF的双基地前向散射栅栏雷达机动目标跟踪。但在实际应用中,不管当前统计模型的自相关时间常数 a ,还是最大加速度的取值 a_{max} ,我们都只能靠经验范围事先设定,而实际情况是实时随机的,所以仿真会在一定程度上偏离实际,但总体来说还是较好地拟合了真实轨迹。对于多目标跟踪问题还有待于深入研究。

参考文献:

- [1] Myakinkov A V. Optimal Detection of High-velocity Targets in Forward Scattering Radar[C]//5th International Conference on Antenna Theory and Techniques. Kyiv Ukraine; [s. n], 2005:345-347.
- [2] Blyakhman A B, Runova I A. Forward Scattering Bistatic Radar[C]//PIERS Workshop on Advances in Radar Methods. [S. l.]: PIERS Press, 1998:107-113.
- [3] Myakinkov A V, Ryndyk A G. Space-time Processing in Three-dimensional Forward Scattering Radar [C]//Proceedings of 4th International Conference on Antenna Theory and Techniques. Sevastopol Ukraine; [s. n], 2003:9-12.
- [4] Blyakhman A B, Myakinkov A V, Ryndyk A G. Phased Antenna Arrays in Bistatic Forward Scattering Radar System [C]//Progress in Electromagnetics Research Symposium Proceedings. Cambridge, Massachusetts; [s. n], 2002:163-167.
- [5] Howland P E. Target Tracking Using Television-based Bistatic Radar [J]. IEE Proc Radar Sonar Navigation, 1999, 146(3): 166-174.
- [6] Blyakhman A B, Myakinkov A V, Ryndyk A G. Algorithm of Target Tracking for Three Dimensional Bistatic Forward Scattering Radar [C]//Proceedings of 4th International Radar Symposium. Warsaw; [s. n], 2004:17-21.
- [7] 吕孝雷, 张守宏, 李锴. 双基地前向散射栅栏雷达的目标运动参数估计[J]. 西安电子科技大学学报:自然科学版, 2007, 34(1):54-58.
LÜ Xiaolei, ZHANG Shouhong, LI Nuo. Estimation of the Moving Parameters for Objects in the Bistatic Forward Scattering Barrier Radar[J]. Journal of Xidian University: Natural Science Edition, 2007, 34(1):54-58. (in Chinese)
- [8] Blyakhman A B, Ryndyk A G, Sidorov S B. Forward Scattering Radar Moving Object Coordinate Measurement [C]//Radar Conference. [S. l.]: IEEE Press, 1999:678-681.
- [9] 何友, 修建娟. 雷达数据处理及应用[M]. 北京:电子工业出版社, 2006.
HE You, XIU Jianjuan. Radar Data Processing With Applications[M]. Beijing: Publishing House of Electronics Industry, 2006. (in Chinese)